

بررسی فراساختاری، مورفولوژیک و موفرومتریک اثرات مزمن کلراید آلومینیوم بر روی بافت کبد خرگوش

امیر امنیت طلب^۱، ایرج سهرابی حقدوست^۲، فرج قوام^۳، شهرام شهریاری^۴

تاریخ دریافت: ۱۳۹۱/۰۷/۱۱ تاریخ پذیرش ۱۳۹۱/۰۹/۲۶

چکیده

پیش زمینه و هدف: آلومینیوم یک فلز پر مصرف است که باعث ایجاد اختلالات بسیاری در ارگان‌های مختلف بدن می‌شود. در این تحقیق اثرات کلراید آلومینیوم در طولانی مدت به صورت فراساختاری، مورفولوژیک و موفرومتریک بر روی بافت کبد خرگوش مورد ارزیابی قرار گرفته است.

مواد و روش کار: ۲۰ سر خرگوش در دو گروه کنترل و تحت مطالعه به تعداد مساوی قرار داده شدند. ۵ mg/kg کلراید آلومینیوم به گروه تحت مطالعه و به همان مقدار آب دیونیزه در مدت ۷ هفته به صورت داخل صفاقی و در شرایط بیهوشی تزریق شد. مقاطع بافتی برای بررسی میکروسکوپ الکترونی و نوری با روش استاندارد تهیه شدند. مطالعه همزمان کمی و کیفی با بررسی تصاویر تهیه شده انجام شد و با استفاده از آنالیز آماری موفرومتری شدند.

یافته‌ها: از لحاظ مورفولوژیک ارتضاح سلول‌های لمفوسیتی، تغییر چربی در پارانشیم کبد، افزایش بافت همبند رشته‌ای در پیرامون ورید چه مرکزی و از لحاظ فراساختاری واکوئله شدن میتوکندری، دزنه شدن شبکه اندوپلاسمیک خشن و هتروکروماتیک شدن هسته هپاتوسيت‌ها مشاهده شد. موفرومتری نیز کاهش معنی دار ($p < 0.05$) نصف قطر لوبلویل‌ها و نسبت‌های حجمی ارگانل‌های هپاتوسيت‌ها در گروه تیمار نسبت به کنترل نشان داد.

بحث و نتیجه گیری: تحقیقات پیشین نشان دهنده اثرات مختلف بافتی آلومینیوم از طرق متفاوت مثل پر اکسیداسیون لیپیدها، آسیب به غشاء پایه سلولی و آسیب DNA می‌باشد. در تحقیق حاضر احتمالاً تولید رادیکال‌های آزاد، اختلال در متابولیسم گلیکوزن و پروتئین از مهم‌ترین علل آسیب توسط آلومینیوم باشد.

کلید واژه‌ها: کلراید آلومینیوم، کبد خرگوش، آسیب شناسی فراساختاری، موفرومتری، مورفومتری

مجله پژوهشی ارومیه، دوره بیست و سوم، شماره هفتم، ص ۷۲۱-۷۱۳، ویژه‌نامه اسفند ۱۳۹۱

آدرس مکاتبه: ارومیه، دانشگاه آزاد اسلامی، دانشکده دامپزشکی، صندوق پستی ۹۶۹ تلفن ۰۹۱۴۴۴۱۴۶۱۳

Email: a.amniattalab@iaurmia.ac.ir

مقدمه

سلول‌های خونی و نارسایی کلیوی می‌شوند و رسوب آن در پارانشیم کبد و مجاری کانالیکول صفرایی منجر به ایجاد سنگ‌های داخل کبدی و کولستاز و نهایتاً التهاب مجاری صفرایی را به دنبال خواهد داشت (۱،۲). در موارد مسمومیت انسان بافت‌های کلیه، کبد، ریه، استخوان و سیستم اعصاب مرکزی آسیب می‌بینند. در حیوانات علاوه بر مبتلا کردن این ارگان‌ها، اثرات مربوط به رشد نیز ایجاد می‌کند. همچنین این فلز می‌تواند از راه باران اسیدی وارد آب تازه شده و باعث مرگ ماهی با صدمه رساندن به آب‌نشان آن‌ها شود (۳). این فلز در محصولات غذایی یافت می‌شود. منبع آلومینیوم به پنیر زرد، نمک، گونه‌های گیاهان ادویه‌جات، چای، لوازم آرایشی، طروف آلومینیومی و خاک و گرد و غبار موجود در هوای باشد.

آلومینیوم یکی از مهم‌ترین فلزات است که به صورت فرآگیر، فراوان‌ترین فلز و سومین عنصر فراوان پوسته زمین محسوب می‌شود (۴). این فلز و املاح آن در خاک کشاورزی به وفور یافت و یا به صورت املاح فلزی وارد آبهای شرب می‌گردد (۵).

بنابراین ورود بیش از حد این فلز و ترکیبات آن به بدن می‌تواند سلامت شخص را به خطر اندازد. به عنوان مثال در بیماری آلزایمر، انسفالوپاتی و آنمی در افرادی که مدت زیادی تحت همودیالیز بوده‌اند، افزایش بیش از حد آلومینیوم را در بدن عامل مهم در بروز آن‌ها می‌دانند. ثابت شده است که در معرض قرار گرفتن طولانی مدت با این فلز باعث تغییرات وسیع عروقی،

^۱ استادیار پاتولوژی، دانشکده دامپزشکی، دانشگاه آزاد اسلامی واحد ارومیه (نویسنده مسئول)

^۲ استاد پاتولوژی، دانشکده علوم تخصصی دامپزشکی، دانشگاه آزاد اسلامی واحد علوم و تحقیقات تهران

^۳ استاد پاتولوژی، دانشگاه علوم پزشکی ارومیه

^۴ استادیار پاتولوژی، گروه دامپزشکی، دانشگاه آزاد اسلامی واحد یاسوج

مقدار 12.5 mg/kg آلومینیوم کلراید که به صورت پودر محلول در آب مقطر دو بار تقطیر بود هر روز و به مدت ۷ هفته به صورت داخل صفاقی تزریق شد. به گروه کنترل آب مقطر دیونیزه عیناً تزریق شد. بعد از انجام تزریقات، خرگوشها به مدت ۱۲ ساعت گرسنه نگه داشته شدند و آن‌ها فقط اجازه داشتند آب بنوشند و سپس آن‌ها را با تزریق داخل عضلانی کتامین با دوز 50 mg/kg بیهوش شدند پس از کالبد گشایی نمونه برداری از مرکز کبد صورت گرفت و در محلول فیکساتیو $2/5$ درصد گلوتارآلائید (برای مطالعه میکروسکوپ الکترونی) و در محلول فیکساتیو بافرفرامالین 10 درصد برای مطالعه با میکروسکوپ نوری قرار داده شد.

برای مطالعه میکروسکوپ نوری بعد از ثبیت نمودن، بالکل آبگیری و با زایلن شفاف سازی و سپس با پارافین قالب گیری و مقاطع 5 میکرونی با رنگ آمیزی معمولی (H&E)، پریودیک اسید شیف (PAS) و آبی آلسین (Alcian blue) آماده شدند. برای مطالعه میکروسکوپ الکترونی بعد از ثبیت نمودن، با استون آبگیری، با رزین آرالایت (نوع Medium شرکت Proscitech استرالیا) قالب گیری و مقاطع 50 نانومتری با یورانیل استات و سیترات سرب رنگ آمیزی شدند و از مقاطع مورد نظر میکروگراف های نوری و الکترونی تهیه شد. تصاویر فراساختاری توسط دستگاه میکروسکوپ الکترونی Jeol ژاپنی مدل JEM - 200CX - 200CX تهیه شده و در رایانه ذخیره شدند.

در این مرحله میکروگرافهای تهیه شده بعد از اسکن و ذخیره در رایانه، بافت‌های مورد نظر از لحاظ تغییرات مورفولوژیک ظاهری نظیر وجود التهاب، افزایش نسوج ترمیمی، از بین رفتان نظم لبول‌های کبدی و بررسی فرا ساختاری نظیر کم شدن فضای دیسی، هتروکروماتین شدن هسته هپاتوسیت‌ها و سایر موارد بروزی دقیق قرار گرفتند.

بررسی کمی Morphometry

الف) محاسبه نسبت حجمی (Vv)
Volume Fraction
از میکروگراف الکترونی و نوری اسکن به عمل آمد سپس با استفاده از صفحات شطونجی خاص (Latic) نقاط برخورد ارگانل‌ها و کل سلول شمارش و محاسبه گردید. از آنجا که هدف مطالعه حاضر بررسی نسبت‌های حجمی است و هم با عنایت به اینکه حجم از رابطه $V = A \times h$ بدست می‌آید. در این فرمول h مساحت $= A$ و ارتفاع $= h$ می‌باشد. از آنجا که ضخامت برش‌های فوق نازک 50 نانومتر بوده و این ضخامت برای تمام نمونه‌ها یکسان بوده است به راحتی با توجه به اینکه در مطالعه حاضر هدف محاسبه نسبت‌های حجمی بوده است یعنی

$$\frac{\text{حجم ارگانل}}{\text{حجم کل سلول}} = \frac{V_1}{V_2} = \frac{A_1 \times h_1}{A_2 \times h_2}$$

همچنین در داروها نیز این فلز یافت می‌شود و به آب آشامیدنی به منظور تصفیه و بهبود رنگ آن افزوده می‌شود (۵). آلومینیوم از سه راه خوارکی، استنشاقی و پوستی می‌تواند جذب شود. ولی از راه پوستی بسیار کم قابل جذب است. استنشاق ذرات آلومینیوم احتمال دارد مستقیماً آن‌ها را از طریق سیستم بوبایی وارد بافت مغز می‌کند. جذب از طریق گوارش بستگی زیادی به pH و نیز وجود لیگاندلهای کمپلکس خصوصاً اسیدهای کربوکسیلیک که قابل جذب باشند دارد. به عنوان مثال جذب روده‌ای وابسته به وجود سیترات است کمپلکس سیترات خودش قابل جذب نیست ولی آلومینیوم را برای انتقال از راههای دیگر در طول دستگاه معده‌ای روده‌ای قابل دسترس می‌کند. سیلیکون یک ممانعت کننده بالقوه برای جذب آن از دستگاه گوارش است و احتمالاً میزان ترشح ادراری را نیز بیشتر می‌کند (۱). آلومینیوم می‌تواند باعث جراحت مرگ سلولی در کبد شود. فرضیه‌ای بیان می‌کند که آلومینیوم به پروتئین‌های سیتواسکلتی که مربوط به غشاء پلاسمایی هستند متصل می‌شود. اینکار باعث بهم خوردن عمل نفوذپذیری سد غشاء سلولی می‌شود و نهایتاً باعث مرگ هپاتوسیت‌ها می‌گردد (۶).

مکانیزم‌های جذب کبدی آلومینیوم به خوبی روشن نیست و این مسأله ناشناخته است که آیا آلومینیوم مستقیماً برای سلول‌های کبدی مسمومیت‌زا است و یا اگر مسمومیت اتفاق می‌افتد ناشی از اثر آن بر روی متابولیسم آهن کبدی است (۷). از آنجا که کبد اولین عضوی است که در مسیر دستگاه گوارش مسئول جذب و سم زدایی مواد مضر می‌باشد طبیعی است که مواد سمی به خصوص املاح فلزی نظیر آلومینیوم می‌توانند چه در کوتاه مدت و چه در بلند مدت اثرات سویی بر بافت‌های کبدی ایجاد کند. در بررسی حاضر اثرات هیستوپاتولوژیک کلراید آلومینیوم هم از دیدگاه میکروسکوپ نوری و هم میکروسکوپ الکترونی بر روی بافت‌های کبدی خرگوش به صورت توازن ارزیابی می‌شود. در ضمن با مورفومتری اجزا و ارگانل‌های بافتی کبد سعی شده که اثرات طولانی مدت تجویز کلراید آلومینیوم بر روی مقادیر کمی ارگانل‌ها مورد ارزیابی و مقایسه قرار گیرد.

مواد و روش کار

خرگوش‌های نر سفید نیوزیلندی از انیستیتو پاستور تهران خریداری شد و به حیوان خانه انتقال یافتند. بعد از وزن کشی، خرگوش‌ها به دو گروه (هر گروه شامل 10 سر) تقسیم شدند. خرگوش‌ها در شرایط آزمایشگاهی استاندارد نگهداری شدند (دمای $22-24$ درجه سانتی‌گراد و رطوبت نسبی $40-60\%$ و دوره روشنایی آن‌ها همان ساعات روشن روز بود). به گروه تحت مطالعه

فضای پورت که تقریباً معادل نیمی از ضخامت اصلی کبد را شامل می‌شود در فتو میکروگرافهای نوری مورد اندازه گیری مورفومتری قرار گرفتند. بزرگنمایی لنز میکروسکوپ نوری برای مورفومتری $X10$ و با مقیاس scale bar= 100micron و برای میکروسکوپ الکترونی scale bar=1micron در نظر گرفته شد که scale bar توسط نرم افزار Image محاسبه و تهیه شد.

آنالیز آماری:

پس از مورفومتری تصاویر میانگین اجزای فوق و همچنین قطر لبولها برای هر نمونه (در هر نمونه حدود ۱۰ میدان بافتی مورد اندازه گیری قرار گرفت) و سپس کل نمونه‌ها در گروهای کنترل و تحت مطالعه محاسبه شد و سپس با روش‌های آماری Student's T-Test و Two Way Analysis of Variance (ANOVA) و معنی‌دار بودن گروه‌های کنترل و تحت مطالعه مقایسه گردید و آن‌ها مورد کنکاش قرار گرفت.

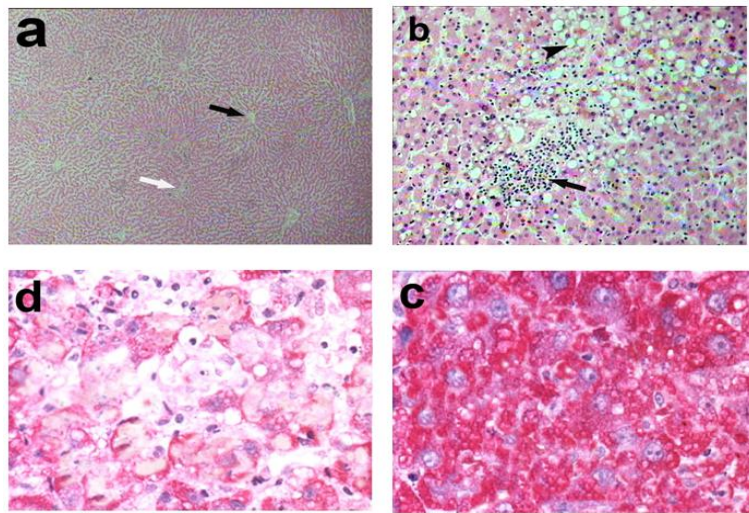
نتایج

نتایج حاصل از این تحقیق از دو جهت مورفولوژیک (بررسی کیفی) و مورفومتریک (بررسی کمی) مورد بررسی قرار گرفت. نتایج مورفولوژیک (بررسی کیفی): با استفاده از فتو میکروگرافی بدست آمده تغییرات ظاهری ایجاد شده در بافت کبد ثبت شدند.

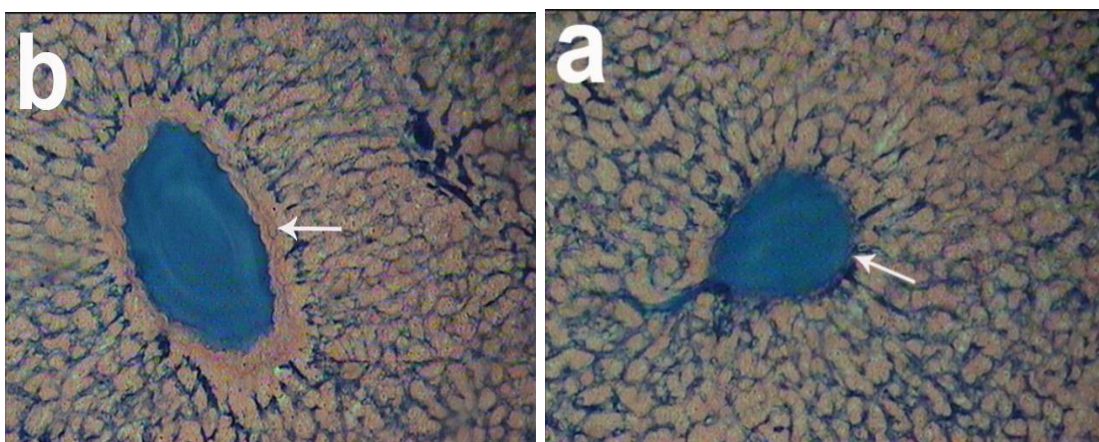
بنابراین کافی است که ما مساحت ارگانل‌ها و کل سلول را محاسبه کنیم. که این مساحت توسط نقاط برخورده، محاسبه گردید با تقسیم مساحت ارگانل به مساحت کل سلول حاصل تقسیم V/V جزء مورد نظر به سلول محسوب می‌شد. پارامترهای اندازه گیری شده برای ارزیابی تغییرات و فعالیت هپاتوسیت‌ها عبارت بودند از: V/V هسته به کل سلول، V/V شبکه آندوپلاسمیک به کل هسته، V/V میتوکندری به سلول، V/V خشن به کل سلول و V/V گلیکوژن به کل سلول نیز مورفومتری شدند. همچنین محاسبه‌ی قطر لبول‌ها برای بررسی تغییرات کلی لبول‌های کلاسیک و محاسبه‌ی ابعاد هسته هپاتوسیت‌ها برای بررسی تغییرات اندازه و شکل هسته سلول‌های کبدی، قطر بزرگ هسته (a) و قطر کوچک هسته (b) و در مقطع میکروسکوپی که حاوی برش‌های رنگ شده H&E بودند انجام شد.

سپس فتو میکروگراف‌ها با استفاده از نرم افزار Image Tool مورفومتری شدند یعنی اقطار هسته‌ها محاسبه شدند و میانگین قطر هسته (mean diameter) از فرمول $d = \sqrt{a \times b}$ محاسبه گردید. نسبت قطرهای هسته (Axial Ratio) از طریق تقسیم a/b محاسبه شد. اقطار حدود ۲۰۰ هسته از هر یک از بافت‌های موردنظر اندازه گیری گردید. همچنین V/V رتیکولوم آندوپلاسمیک خشن به سلول و گلیکوژن به سلول مورفومتری شدند.

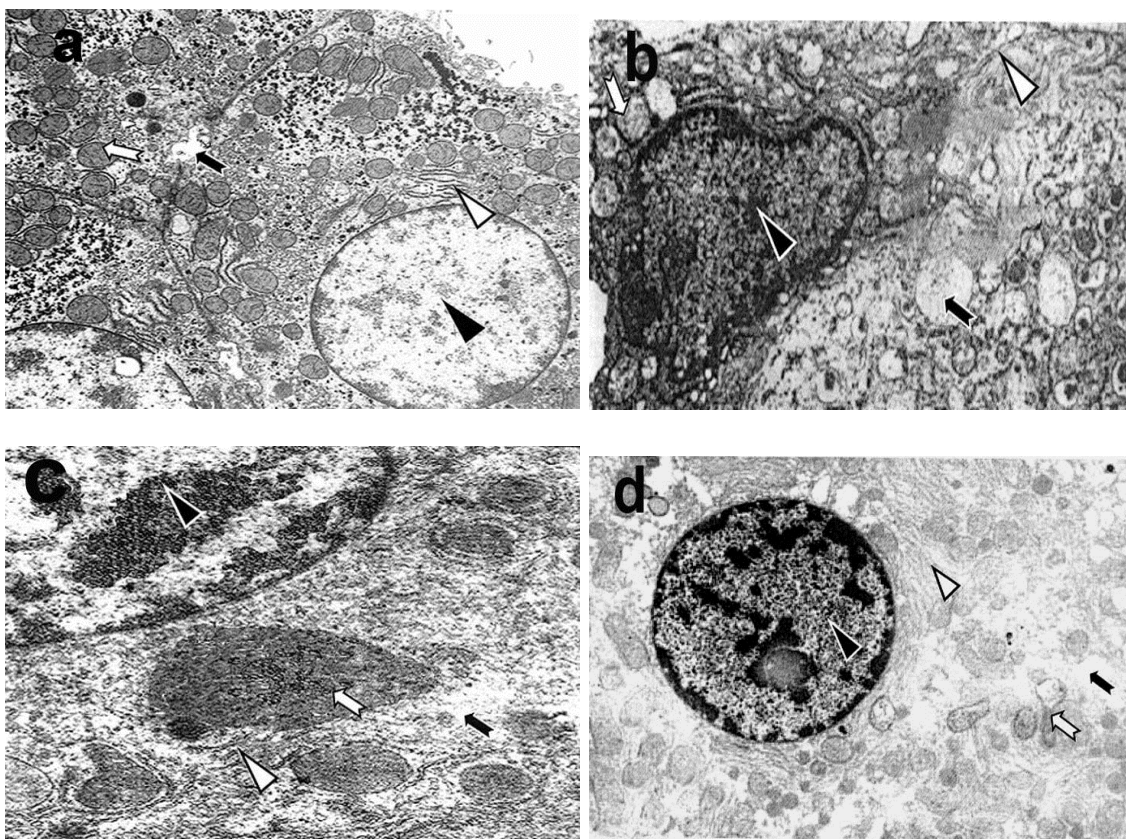
محاسبه‌ی قطر لبول‌های کلاسیک: همچنین برای تغییرات کل بافت لبول‌های کلاسیک کبد از کنار ورید مرکزی تا کنار



شکل شماره (۱): (a) منظره میکروسکوپی از کبد نرمال در گروه کنترل. وریجه مرکزی (پیکان سیاه) و فضای باب (پیکان سفید); رنگ آمیزی (H&E) بزرگ نمایی X40. (b) بافت کبد در گروه تحت مطالعه. تغییر چربی (سر پیکان) و ارتashاح سلول‌های لمفوسيتی (پیکان) در میان هپاتوسیت‌ها در پارانتیلم کبد مشاهده می‌شوند؛ رنگ آمیزی (H&E) بزرگ نمایی X100. (c) هپاتوسیت‌های دارای گلیکوژن با رنگ پذیری PAS مثبت در گروه کنترل (d) هپاتوسیت‌های دارای واکوئول‌های شفاف چربی به رنگ سفید و گلیکوژن کم با رنگ پذیری ضعیف PAS در گروه تحت مطالعه؛ رنگ آمیزی PAS بزرگ نمایی X40.



شکل شماره (۲): (a) نسج بسیار ظرفی رتیکولر (پیکان) در اطراف ورید چه مرکزی کبد در گروه کنترل (b) نسج همبندی ضخیم (فیبروز) در اطراف ورید چه مرکزی کبد (پیکان) در گروه تحت مطالعه؛ رنگ آمیزی Alcian blue بزرگ نمایی $\times 100$.



شکل شماره (۳): فتومیکروگراف های الکترونی از بافت کبد خرگوش (a) فرا ساختمان هپاتوسیت‌ها در گروه کنترل. تمام بافت‌های موجود در این مقطع کاملاً نرمال بوده و هیچ ساختمان غیر طبیعی خاصی دیده نمی‌شود. سلول‌های کبدی طبیعی، هسته یوکروماتیک و سیتوپلاسم حاوی مقدار فراوانی میتوکندری، گلیکوژن می‌باشد که همگی نرمال هستند. گلیکوژن (پیکان سیاه)، میتوکندری (پیکان سفید)، هسته (سر پیکان سیاه) و شبکه آندوپلاسمیک خشن (سر پیکان سفید) بزرگنمایی $\times 7200$ بزرگنمایی (b,c,d) فرا ساختمان هپاتوسیت‌هادر گروه تحت درمان. همانگونه که ملاحظه می‌شود نظم بافتی بهم خورده، هپاتوسیت‌ها واکوئله شده میتوکندری‌ها و شبکه آندوپلاسمیک خشن دُز نره شده، هسته هتروکروماتیک شده است. گلیکوژن (پیکان سیاه)، میتوکندری (پیکان سفید)، هسته (سر پیکان سیاه) و شبکه آندوپلاسمیک خشن (سر پیکان سفید) بزرگنمایی (b) و (d) بزرگنمایی (c) $\times 12000$.

جدول شماره (۱): جدول مقایسه میانگین نیمی از طول متوسط لبول‌های کلاسیک و نسبت‌های حجمی ارگانل‌های سلوی (Vv) هپاتوسیت‌ها در کنترل و تحت مطالعه در خرگوش‌های در معرض طولانی مدت کلراید آلومینیوم

ارزش P	گروه تحت مطالعه	گروه کنترل	گروه‌ها	
			بافت‌ها	نصف قطر لبول کبدی
./.0.	۲۴۳/۱۲ ±۰/۰۴۰ **	۲۶۰/۶۲ ±۰/۰۳۳**		
./.0.	.۳۵۰ ±۰/۰۱۱	.۳۷۹ ±۰/۰۶۱		نسبت حجمی هسته به کل سلوول
./.0.	.۷۰۱ ±۰/۰۴۷	.۹۲۰ ±۰/۰۲۱		نسبت حجمی یوکروماتینی هسته به کل هسته
./.0.	.۳۴۴ ±۰/۰۴۹	.۴۵۲ ±۰/۰۶۵		نسبت حجمی میتوکندری به کل سلوول
./.0.	.۰۷۶ ±۰/۰۵۶	.۱۰۸ ±۰/۰۶۳		نسبت حجمی گلیکوژن به کل سلوول
./.0.	.۰۵۹ ±۰/۰۴۹	.۰۸۸ ±۰/۰۲۲		نسبت حجمی شبکه‌ی آندوپلاسمیک خشن به کل سلوول

* مقادیر یاد شده بر حسب میکرون می‌باشد.

ارقام فوق به صورت Mean±SE می‌باشد.

نتایج مورفولوژیک بدست آمده از فتومیکروگراف نوری شماره ۱ (a) و (c) نشان می‌دهد تمام بافت‌های موجود در این مقطع کاملاً نرمال بوده و هیچ ساختمان غیر طبیعی خاصی دیده نمی‌شود. سلوول‌های کبدی طبیعی و کاملاً منظم و به شدت پاس مثبت می‌باشد و اشعه وار از ورید مرکزی تا فضای پورت کشیده شده است. در حالیکه بر اساس نتایج مورفولوژیک بدست آمده از فتومیکروگراف نوری شماره ۱ (b) و (d) نشان می‌دهد که در بافت‌های کبدی در گروه تحت مطالعه طی فاز مزمن از مقدار و شدت پاس به شدت کاسته شده است و در عوض واکوئول‌های چربی به صورت بی‌رنگ در هپاتوسیت‌ها تجمع یافته‌اند.

یکی از آسیبهای شایع کبد فیبروز کبدی می‌باشد و فیبروتیک شدن آن عموماً از همین ناحیه شروع می‌شود. بنابراین، در یک بررسی توجیهی اقدام به رنگ آمیزی اختصاصی آسیان بلو نمودیم که وضعیت استرومای کبد را بهتر نشان دهد، به عبارت دیگر در این مقاطع هدف بررسی تغییرات احتمالی بافت هم بندی رتیکولر ظریف در اطراف سینوزوئیدها، به خصوص ورید مرکزی است به علت اینکه عموماً فیبروتیک شدن پارانشیم کبد از همین ناحیه شروع می‌شود. براین اساس نتایج مورفولوژیک بدست آمده از فتومیکروگراف نوری شماره ۲ (a) و (b) نشان می‌دهد، که در گروه کنترل بافت هم بندی رتیکولر ظریف در اطراف ورید مرکزی وجود دارد و واکنش تغییری خاصی دیده نمی‌شود. تمام بافت‌های موجود در این مقطع کاملاً نرمال بوده و هیچ ساختمان غیر طبیعی خاصی دیده نمی‌شود. سلوول‌های کبدی طبیعی و کاملاً منظم و اشعه وار از ورید مرکزی تا فضای پورت کشیده شده‌اند. امادرگروه تحت مطالعه همان‌گونه که ملاحظه می‌شود بافت هم بندی رتیکولر

نتایج مورفومتریک (بررسی کمی): با استفاده از این ایده که اثرات سیتوتوکسیک فلزات سنگین باعث آسیب و آزار سلوولی و در نتیجه باعث کاهش اجزای سلوول می‌شود با استفاده از صفحات شطرونچی خاص (لاتیس) و شمارش نقاط برخورد اقدام به مورفومتری اندامکهای سلوولی در کبد نظیر: گلیکوژن، میتوکندری و هسته و شبکه‌ی آندوپلاسمیک خشن شد و همچنین بررسی وضعیت کلی لبول‌های کبدی با اندازه گیری اقطار آن‌ها با استفاده از نرم افزار Image tool و بر اساس کالیبره نمودن مقاطع با استفاده از (Scale bar) در مقیاس ۱۰۰ میکرونی انجام شد.

بحث و نتیجه‌گیری

متاسفانه اثرات فلزات سمی و خطرناک از جمله آلومینیوم به تدریج و در طولانی مدت ظاهر می‌شود. و این بدان معنی است که آستانه تحمل بافت‌های مختلف نسبت به آن‌ها بالاست ولی وقتی که در یک بافت باعث مسمومیت و آسیب می‌شود عوارض و ضایعات جبران‌ناپذیری را ایجاد می‌کند.

از آنجا که یکی از عملکردهای مهم هپاتوسیت‌ها ذخیره‌ی گلیکوژن می‌باشد بنابراین هر چقدر هپاتوسیت‌ها ذخیره‌ی گلیکوژن بیشتری داشته باشند، نشان دهنده‌ی طبیعی بودن ساختمان سلوولی آن می‌باشد (البته میزان گلیکوژن به رژیم غذایی حیوان هم بستگی دارد). در مطالعه‌ی حاضر هر دو گروه تحت مطالعه و کنترل رژیم غذایی به فور و به صورت یکسان در اختیار آن‌ها قرار داده می‌شده است. از آنجا که گلیکوژن در طی پروسه‌ی آماده سازی توسط الكل و سایر حلال‌ها حل می‌شود، بنابراین در یک بررسی توجیهی اقدام به رنگ آمیزی اختصاصی PAS شد که وضعیت گلیکوژن را بهتر نشان دهد. براین اساس

همچنین نتایج میکروسکوپ الکترونی نگاره نشان داد رسبو آلمینیوم، آهن و نیز بیان گیرنده ترانسفیرین به صورت معنی دار در کبد موش های بالغ متعاقب قرار گرفتن در معرض آلمینیوم تغییر یافت. در موش های پیر درمان شده با آلمینیوم ضخامت اندوتیالی افزایش و منافذ آن مثل آكتین اطراف سینوزوئیدی کاهش یافت. بنابراین آلمینیوم رسبو کلائز و لامینین را تحریک کرده و در نتیجه دریافت طولانی مدت سولفات آلمینیوم روند پیری را در کبد موش های سوری بالغ تسريع می کند (۱۵). در تحقیق حاضر نیز کلرید آلمینیوم در مدت طولانی سبب ایجاد بافت همبند رشته ای در اطراف ورید چه مرکزی گروه تحت مطالعه شد. بررسی ها نشان می دهند نیتریلو تری استات آلمینیوم بر روی کبد، کلیه و سیستم اعصاب مرکزی موش های صحرایی اثرات سمی داشته است و باعث ایجاد ضایعات کبدی و کلیوی شامل تکروز انعقادی میدزونال منتشر سلول های عصبی مغز و توبول های پیچیده نزدیک کلیه و آتروفی سلول های عصبی مغز و دیلیناسیون ساقه مغز شده است (۱۶). در بررسی دیگری اثرات تجویز خوارکی سیترات آلمینیوم بر روی خرگوش ارزیابی شده است. وجود نداشتن تغییرات کبدی به نظر می رسد به علت کم بودن میزان جذب آلمینیوم از دستگاه گوارش نرمال بالغ و کلیه های با عملکرد نرمال باشد. همچنین پس از تجویز داخل وریدی آلمینیوم مقادیر بالای آن در بافت کبد یافت شد که با وجود سلول های غول پیکر کبدی دارای آلمینیوم مشخص گردید (۱۷). در یک بررسی که برای ارزیابی اثرات احتمالی آلمینیوم کلراید بر روی بافت شناسی کبد انجام شد در ۵ گروه و هر گروه ۱۰ موش صحرایی آلمینیوم کلراید به صورت خوارکی در ۴ دوز ۴۷۵ و ۹۵۰ و ۱۴۲۵ mg/kg در مدت ۸ هفته با در نظر گرفتن یک گروه کنترل تجویز شد. بررسی مقاطع هیستو پاتولوژی بافت کبد نشان داد آلمینیوم کلراید سبب تغییراتی مثل پرخونی و ریدچه مرکزی و تغییر شکل سینوزوئید های کبد شده است (۱۸).

در تحقیق دیگری مقادیر متفاوت ۱۰۰ و ۱۰ و ۵ درصد آلمینیوم کلراید که به صورت خوارکی با آب آشامیدنی به موش های سوری تجویز شد و تیروئید موش ها از لحظه هیستو پاتولوژی مورد بررسی قرار گرفت. نتایج نشان داد آلمینیوم با توجه به دوز مورد استفاده باعث دزتراسیون ساختار بافتی و آسیب سلولی فولیکول های تیروئید می شود (۱۹).

در تحقیقی بر روی تغییرات هیستو پاتولوژی کبد و کلیه پس از ایجاد سمومیت تحت مزمن با آلمینیوم کلراید در موش صحرایی به گروه آزمایشی در مدت ۵ هفتہ به صورت داخل صفاقی آلمینیوم کلراید تزریق شد. رسوبات سفید متشکل از

ظریف در اطراف ورید مرکزی تبدیل به یک بافت همبند رشته ای واضح شده است.

نمک های آلمینیم باعث مهار فعالیت آنزیم های مختلف از جمله آکالین فسفاتاز، هگزو کیناز، فسفو اکسیداز می شود به خصوص در معرض قرار گیری مزمن با آلمینیم باعث آسیب حاد کبدی و در نتیجه افزایش لیپید پراکسیداسیون همراه با کاهش گلوتاسیون پراکسیداز و کاهش فعالیت کاتالاز و کاهش فعالیت پمپ سدیم پتانسیم می شود (۸).

همچنین با دقت در شکل شماره ۱ (a) که فتو میکرو گراف های نوری دیگری از لبول های کلاسیک بافت های کبدی گروه تحت مطالعه طی فاز مزمن را نشان می دهد مشخص می شود که بعضاً اثرات سیتو توکسیکی آلمینیم کلراید طی فاز مزمن به صورت واکوئله شدن هپاتوسیت ها و مقداری ارتashاج لنفو سیتی در بین سلول های کبدی مشاهده می شود. یافته های حاصل از این بررسی با یافته های سایر محققین مطابقت دارد (۱۰، ۹).

اما بررسی فراساختمانی بافت های کبدی در گروه تحت مطالعه طی فاز مزمن بر اساس نتایج مورفولوژیک بدست آمده از فتو میکرو گراف الکترونی شماره ۳ (b و c و d) نشان می دهد که طی فاز مزمن نظم بافتی بهم خورده، هپاتوسیت ها واکوئله شده (پیکان سیاه) می تونند این را باعث تغییرات شدید فراساختمانی می شود. یافته های حاصل از این بررسی با سایر یافته های محققین مطابقت دارد (۱۱).

نتایج یک بررسی نشان داد افزایش آلمینیوم با افزایش لیپوفوکسین در گلوبول های قرمz و سلول های کبدی مرتبط می باشد که در اثر آن طول عمر سلول ها خصوصاً گلوبول های قرمz و هپاتوسیت ها کاهش می یابد (۱۲). تحقیقات نشان داده است که لاکتات آلمینیوم در موش های صحرایی که ۴ روز پس از تولد هپاتکتومی نسبی (۶۵%) شده بودند باعث آسیب کبدی و بدتر شدن فعالیت های کلیوی شد. آلمینیوم و هپاتکتومی نسبی سبب بافت کبد نشان داد آلمینیوم کلراید سبب تغییراتی مثل پرخونی و ریدچه مرکزی و تغییر شکل سینوزوئید های کبد شده است (۱۳). نتایج تحقیقی نشان می دهد تزریق داخل صفاقی آلمینیوم سبب ضایعات در تمامی قسمت های بافت کبدی موش های صحرایی می شود. لذا می توان گفت آلمینیوم به تمامی ساختار های کبد رسیده است و تعدادی از ذرات آلمینیوم از سد ماکرو فاگوسیت ها عبور کرده اند (۱۴).

می تواند اختلال جدی در فعالیت خون، کبد و کلیه ایجاد کند (۲۳).

در یک بررسی اثرات هیستوپاتولوژیکی در کبد موش صحرایی متعاقب تزریق داخل صفاقی آلمینیوم در یک دوز بالا ارزیابی شد. تجمعات شبه کریستالی آلمینیوم در کپسول، زیر کپسول و فضای باب بافت کبد در موش‌های در معرض آلمینیوم یافت شد. نفوذ قطرات ریز چربی در بافت کبد (تفییر چربی) وجود داشت. صفاق و کپسول گلیسون کبد نفوذ شدید ماکروفازها و یک واکنش شبیه به جسم خارجی همراه با ماکروفازهای متعدد حاوی تجمعات شبه کریستالی آلمینیوم نشان دادند. گرچه این واکنش یک حالت دفاعی در برابر فلز بود مقداری از آلمینیوم از این سد عبور کرده و وارد بافت کبد شد و اثرات سمی را در مجاری صفراوی و هپاتوسیت‌ها نشان دادند (۱۴).

تحقیقات اخیر نشان می‌دهند که مکانیسم اثر ترکیبات آلمینیوم در بافت‌های مختلف تا حدودی متفاوت است. در بافت کبد لیزوژوم، غشای پایه و غشای سلولی تحت تاثیر ترکیبات آلمینیوم قرار می‌گیرند (۳۲). نتایج تحقیق حاضر تغییرات ناشی از تجویز طولانی مدت آلمینیوم در میتوکندری، شبکه اندوپلاسمیک خشن، گلیکوژن و هسته هپاتوسیت‌ها را تایید نمود. با توجه به کاهش حجم گلیکوژن در گروه تیمار نسبت به گروه کنترل و با توجه به وقوع تغییر چربی در گروه تیمار می‌توان پیشنهاد کرد آلمینیوم احتمالاً با ایجاد نقص در متابولیسم چربی‌ها با عث تجمع چربی و در عوض کاهش تجمع و حجم گلیکوژن در هپاتوسیت‌ها شده است. از سوی دیگر تغییرات ایجاد شده در میتوکندری‌ها ممکن است در نتیجه افزایش سیتوکروم میکروزومی P450 باشد که باعث وجود آمدن استرس اکسیداتیو و ایجاد رادیکال‌های آزاد اکسیژن شده و پر اکسیداسیون و سیکل متابولیسم چربی دچار نقص نشده و تغییر چربی ایجاد خواهد کرد. از سوی دیگر نتایج مورفومتریک مطالعه حاضر نیز با نتایج مورفولوژیک و فراساختاری مطابقت دارد به این مفهوم که کلرايد آلمینیوم در مدت طولانی می‌تواند از لحاظ کیفی و کمی باعث تغییرات در سلول‌های کبدی و ارگانل‌های آن‌ها شود.

تشکر و قدردانی

از مرکز میکروسکوپ الکترونی دانشکده دامپزشکی دانشگاه شیراز کمال تشکر می‌شود.

بقایای سلولی بر روی سطح کبد و کلیه و روده بند در اثر درمان با آلمینیوم ظاهر شد. چسبندگی کپسول گلیسون کبد به دیافراگم و گرانولوم‌های همچنین کانون‌های کوچک پراکنده از هپاتوسیت‌های نکروتیک و گرانولوم‌های کوچک التهاب خفیف در فضای باب در گروه آزمایشی ایجاد شد. همچنین در گرانولوم‌ها و ماکروفازهای کبد گروه آزمایشی رسوبات آلمینیوم یافت شد. رسوب آهن نیز در هپاتوسیت‌های اطراف ورید چه مرکزی گروه آزمایشی و در گرانولوم‌ها و فضاهای باب تمام گروه‌ها یافت شد. از لحاظ فراساختاری در حیوانات گروه آزمایش هپاتوسیت‌ها دارای هیالینه شدن میتوکندری و از هم پاشیدگی شبکه اندوپلاسمیک و خوش‌های شدن ریبوزوم‌ها مشاهده شد. فاگولیزوروم‌ها بزرگ‌تر بوده و اغلب در هر دو هپاتوسیت‌ها و سلول‌های کوپفر حیوانات گروه آزمایش مشاهده شدند (۲۰).

نتایج بررسی دیگری بر روی اثرات مسمومیت با سولفات آلمینیوم در بزهای نژاد اتیوپیایی نشان داده است که تجویز خوارکی او ۲۰ درصد سوافات آلمینیوم با آب آشامیدنی باعث تغییرات آسیب شناسی مثلنکروز هپاتوسیت‌ها و پرخونی در تمام اعضای گروه آزمایش شده است (۲۱). نتایج تحقیقی که اثر قرار گرفتن موش‌های صحرایی در معرض آلمینیوم بر روی بررسی ظرفیت‌های سوپر اکسید و پر اکسید توسط کبد و بیضه و کلیه و بخش قشری مغز انجام شده است نشان می‌دهد تغییرات القایی ناشی از آلمینیوم در ظرفیت اکسید کنندگی می‌تواند باعث استرس اکسیداتیو در بافت‌های نورونی و غیر نورونی شود (۲۲).

در یک تحقیق اثرات سمی ژنی و کبدی و کلیوی و خونی و نیز هیستوپاتولوژی متعاقب مسمومیت مزمن بالآلuminium در موش‌های صحرایی مورد ارزیابی قرار گرفت. موش‌ها در گروه آزمایش به مدت ۱۰ هفته و با دوز 5 mg/kg کلرید آلمینیوم به صورت داخل صفاقی تیمار شدند. تغییرات هیستولوژیکی در نمونه‌های کبد و کلیه مورد تحقیق قرار گرفت. پس از قرار گرفتن در معرض آلمینیوم فعالیت‌های آنزیمی AST، ALT، ALP و LDH و نیز مقدار اوره به شکل معنی‌دار افزایش یافتند. همچنین مقادیر RBC، WBC، PLT، Hb و Ht به صورت معنی‌داری در گروه آزمایش نسبت به کنترل کاهش نشان داد. علاوه بر این تغییرات آسیب شناسی شدید در کبد و کلیه تایید شد. نتایج نشان داد قرار گرفتن تحت مزمن در معرض دوزهای کم آلمینیوم

References:

1. Burtis CA, Ashwood ER. Tietz textbook of clinical chemistry. 3rd Ed. Philadelphia: WB Saunders; 1998. P. 982-98.
2. Moshtagie AA. Aluminum distribution in rat liver sub cellular fractions in relation to Neurological disease in hemodialyzed patients. *J Islam Acad Sci* 1994; 7: 215-20.
3. Wahl M, Gadzijev EM, Wahl J, Ravnik D, Pecar J, Pleskovic A. An experimental model of reproducible liver trauma injury. *Toxicology* 2005; 36: 963-9.
4. Osinsaka E, Kanoniuk D, Kusiak A. Aluminum hem toxicity mechanisms. *Toxicology* 2004; 59: 411-16.
5. Yousef MI. Aluminum -induced changes in hemato – biochemical parameters, lipid per oxidation and enzyme activities of male rabbits: protective role of ascorbic acid. *Toxicology* 2004; 199: 47-57.
6. Snyder JW, Serroni A, Savory J, Farberg L. The absence of extra cellular calcium potentiates the killing of cultured hepatocytes by aluminum maltolate. *Arch Biophys* 1995; 316: 434-442.
7. Abero K, Jangala J, Jain SK, Sella M, Glass J. Aluminum uptake and toxicity in Cultured mouse hepatocytes. *J Am Soc Nephrol* 1991; 1: 1299-1304.
8. Kaizer RR, Correa MC, Spanevello RM, Morsch VM, Mazzanti CM, Goncalves JF, et al. Acetylcholinesterase activation and enhanced lipid peroxidation after long-term exposure to low levels of aluminum on different mouse brain regions. *J Inorg Biochem* 2005; 99: 1865-70.
9. Cannata- Andia JB, Fernandez-Martin JL. The clinical impact of alaminum overloaded in renal failure. *Nephrol Dial Transpl* 2002; 17: 9-12.
10. Mahieu S, Millen N, Gonzalez M, Contini Mdel C, Elias MM. Alteration of the renal function and oxidative stress in renal tissue from rats chronically treated with aluminum during the initial phase of hepatic regeneration. *J Inorg Biochem* 2005; 99: 1858-64.
11. Turgut S, Aban G, Oguz EO. Amelioration of aluminium-induced liver damage by vitamin E. *Saudi Med J* 2007; 28: 197-200.
12. Vanholder R, Cornelis R, Dhondt A, Lameire N. The role of trace elements in uraemic toxicity. *Nephrol Dial Transpl* 2002; 17: 2-8.
13. Plachot JJ, Witmer CG, Halpern S, Mendes V, Bourdeau A, Fritsch J, et al. Bone ultrastructure and x-ray microanalysis of aluminum-intoxicated hemodialyzed patients. *Kidney Int* 1984; 25: 796-803.
14. Bogdanovic M, Janeva BA, Bulat P. Histological changes in rat liver after a single high dose of aluminium. *Arh Hig Rada Toksikol* 2008; 59: 97-101.
15. Stacchiotti A, Lavazza A, Ferroni M, Sberveglieri G, Bianchi R, Rezzani R, et al. Effects of aluminium sulphate in the mouse liver: similarities to the aging process. *Exp Gerontol* 2008; 43: 330-8.
16. Ebina Y, Okada S, Hamazaki S, Midorikawa O. Liver, kidney, and central nervous system toxicity of aluminum given intaperitoneally to rats: a multiple-dose subchronic study using aluminum nitrilotriacetate. *Toxicol Appl Pharm* 1984; 75: 211-18.
17. Wills MR, Hewitt CD, Sturgill BC, Savory J, Herman MM. Long-term oral or intravenous aluminum administration in rabbits. I. renal and hepatic changes. *Ann Clin Lab Sci* 1993; 23: 1-16.
18. Buraimoh AA, Ojo SA, Hambolu JO, Adebisi SS. Effects of aluminum chloride on the histology of the liver of adult wistar rats. *IOSR J Pharm* 2012; 2: 525- 33.
19. Aktac T, Bakar E. The histological changes in the mouse thyroid depending on the aluminum. *J Cell Mol Biol* 2002; 1: 69-72.

20. Garrosa M, Llanes F, Gayoso MJ. Histopathological changes in gerbil liver and kidney after aluminum subchronic intoxication. *Histol Histopathol* 2011;26: 883-92.
21. Medani AB, El Badwi SMA, Amin AE. Toxicity of aluminum sulphate (alum) to Nubian goats. *J Tox Env Heal Sci* 2011;3: 198-203.
22. Chaitanya TV, Mallipeddi K, Bondili JS, Nayak P. Effect of aluminum exposure on superoxide and peroxide handling capacities by liver, kidney, testis and temporal cortex in rat. *Indian J BiochemBio* 2012;49: 395-8.
23. Geyikoglu F, Turkez H, Bakir TO, Cicek M. The genotoxic, hepatotoxic, nephrotoxic, haematotoxic and histopathological effects in rats after aluminum chronic intoxication. *Toxicol Ind Health* 2012; 36: 51-3.
24. Shahriary SH, Sohrabi Haghdoost I, Amniattalab A, Ghavam F. A study of aluminum chloride chronic effects on glomerular basement membrane ultrastructure, morphology and morphometry of rabbit renal tissues. *Urmia Med J* 2012; 23: 32-40. (Persian)